

ИНСТИТУТ ЯДЕРНОЙ ФИЗИКИ СИБИРСКОГО ОТДЕЛЕНИЯ АН СССР

169

В.И.Волосов, В.Е.Пальчицов,
Ф.А.Цельник

**О пролетных колебаниях электронов
в магнитной ловушке**

г.Новосибирск 1967

В.И.Волосов, В.Е.Пальчиков, Ф.А.Цельник

О ПРОЛЕТНЫХ КОЛЕБАНИЯХ ЭЛЕКТРОНОВ
В МАГНИТНОЙ ЛОВУШКЕ

АННОТАЦИЯ

Проводилось изучение процессов накопления и
удержания быстрых электронов (до 100 кэв) в
"Магнитной ловушке". Основным видом неустойчивос-
тей, наблюдавшихся в эксперименте, являются коле-
бания, связанные с осциллирующим движением элек-
тронов между магнитными "пробками", которые огра-
ничивают плотность "горячей плаэмы". В работе опи-
сан ряд особенностей подобных колебаний, а также
приводится качественная теория, объясняющая резуль-
таты экспериментов.

В экспериментах по накоплению быстрых электронов в магнитной ловушке обычно наблюдаются неустойчивости, влияющие на процесс накопления и удержания частиц [1,2]. Существенную роль здесь играет неустойчивость, связанная с осциллирующим движением электронов между магнитными пробками ("пролетные колебания"). В настоящей работе описан ряд особенностей подобных колебаний, наблюдавшихся экспериментально, а также делается попытка дать качественное объяснение этих результатов.

Эксперименты проводились на магнитной ловушке диаметром 40 см, длиной 130 см (расстояние между пробками). Магнитное поле было стационарным и менялось в пределах 100-300 эрстэд в центре; пробочное отношение 2,5. Импульсная инжекция конусного пучка электронов с энергией до 100 кэв проводилась через одну из магнитных пробок, средний угол раствора конуса вблизи максимума поля $174\text{--}178^\circ$; угловой размер пучка $4\text{--}5^\circ$, время инжекции 5 мксек. Подробное описание метода инжекции дано в [3]. Захват частиц осуществлялся только за счет объемного заряда пучка (импульсный соленоид, описанный в [3], здесь не использовался). Эффективное накопление частиц в ловушке начиналось при некотором минимальном токе инжекции (I_{min}), зависящем от энергии электронов (так, например, при $W_e = 40$ кэв, $I_{min} \approx 0,3$ а), а также от угла

наклона инжектируемого пучка к магнитному полю.

Схематический разрез установки дан на рис.1. Измерения проводились с помощью электростатических и диамагнитных зондов (измерение E_r и ΔH_x), торцевых пробников и магнитных антенн.

Практически во всех экспериментах, при токе инжекции выше I_{min} , наблюдались колебания с частотой 20-30 мГц, близкой к частоте колебаний быстрых электронов между магнитными пробками ($f_{\text{теор.}}$).

$$f_{\text{теор.}} = \frac{C}{\sqrt{\alpha(1 - \frac{W_0}{W})}} \quad (1)$$

C - константа, зависящая от условий эксперимента,
 α - пробочное отношение, W - энергия частиц,
 W_0 - энергия покоя. Сравнение этих частот в зависимости от энергии электронов дано на рис.2. Частота колебаний не зависела от магнитного поля, плотности холодной плазмы и нейтрального газа. Колебания наблюдаются как в течение импульса инжекции, так и при распаде плазмы при довольно низкой плотности плазмы, причем амплитуда колебаний во времени падает медленно (рис.3). Существенно, что колебания наблюдаются при начальной плотности плазмы много меньшей, чем требуется для появления 2-х пучковой неустойчивости, критерий появления которой

имеет вид

$$2\omega_p^2 = \gamma^3 (k_{||} \bar{v}_x)^2 \quad (2)$$

ω_p - плазменная частота; $\gamma = 1 + \frac{W}{W_0}$; v_x -

— средняя продольная скорость частиц в ловушке.

На осцилограммах, полученных с диамагнитного и электростатического зондов видны высшие гармоники основной частоты, причем форма сигнала зависит от положения пробника вдоль χ ; эти осцилограммы можно объяснить наличием в ловушке сгустка электронов, совершающих продольные колебания (рис.4). Измерения с помощью электростатического азимутального секционированного пробника показали, что этот сгусток однороден по азимуту и совершает колебания по χ как одно целое.

Амплитуда колебаний во время инжекторного импульса при плотности быстрых электронов, определяемой условием (2), сильно возрастала. Эта плотность определялась током инжекции, причем, как уже отмечалось в /2/, рост плотности прекращается при токах выше некоторого критического (рис.5). Амплитуда колебаний в режиме распада плазмы также возрастила при плотностях N_e и токах определяемых из (2), однако дальнейший рост тока инжекции приводил к сильному уменьшению этих колебаний. Время распада плазмы (время уменьшения плотности в e раз) было порядка нескольких сот микросекунд. При токах

инжекции выше критического это время сокращалось в несколько раз (рис.5). Время затухания колебаний одного порядка со временем распада плаэмы.

Одновременно с описанными выше в ч. колебаниями наблюдались низкочастотные колебания с частотой 200-500 кгц; которая по порядку величины совпадает с дрейфовой частотой вращения плаэмы в магнитной ловушке.

Качественное объяснение наблюдавшимся колебаниям можно дать рассматривая движение отдельных заряженных частиц в поле потенциальной "ямы" $eU(z) + \mu H(z)$ с учетом объемного заряда частиц. Пусть имеется сгусток заряженных частиц, совершающий колебание в этой "яме" с периодом $T = \frac{2\pi}{\Omega_0}$ (подобный сгусток может образоваться в результате случайной флюктуации). Отдельная частица движется в фазовом пространстве относительно этого сгустка как по фазе относительно центра сгустка $-\varphi$, так и по частоте $\Delta\Omega = \Omega - \Omega_0$. тогда ($X_n = X(t)$)

$$\varphi_{n+1} = \varphi_n + \Delta\Omega T_0 \quad (3)$$

$$\Delta\Omega_{n+1} = \Delta\Omega_n + \frac{\partial\Omega}{\partial W} \frac{\partial W}{\partial t} T_0$$

здесь рассматриваются моменты времени t_n, t_{n+1} .

$$t_{n+1} = t_n + T_0$$

Если фаза и частота меняются достаточно медленно и величина потенциала объемного заряда невелика по сравнению с полным потенциалом, то можно из (3) получить

$$\frac{\partial^2\varphi}{\partial t^2} = \frac{\partial\Omega}{\partial W} F(\varphi) \cdot \bar{V}_z \quad (4)$$

\bar{V}_z - средняя скорость сгустка; $F(\varphi)$ - сила

воздействия объемного заряда на частицу. При

$\frac{\partial\Omega}{\partial W} > 0$ возмущение плотности быстро затухает, при $\frac{\partial\Omega}{\partial W} < 0$ возмущение плотности

сохраняется во времени; уравнение (4) в этом случае совпадает с уравнением, описывающим эффект "отрицательной массы", которое подробно разбирается в теории ускорителей /4-7/. В описанной выше

магнитной ловушке $H_z \approx H_0(1+\alpha(\frac{z}{a})^2-\beta(\frac{z}{a})^4)$

и условие $\frac{\partial\Omega}{\partial W} < 0$ выполняется практически во всем объеме; учет электрических полей объемного заряда лишь усиливает это неравенство.

Функция $F(\varphi)$ в нашем случае является довольно сложной, т.к. здесь каждой точке z соответствуют две точки в пространстве φ (а не одна, как в теории ускорителей). Поэтому ограничимся лишь качественным рассмотрением задачи. В первый момент после окончания инжекции все фазовое про-

странство заполнено частицами (см.рис.6); верхний предел по продольной энергии $W_{II}(\Omega)$ определяется условием ухода через пробку

$$W_{II_{max}} = \mu(H_{np} - H_o) + e(U_{np} - U_o) \quad (5)$$

Затем частицы из областей II и III начинают медленно уходить через магнитные пробки; при этом разница в плотностях частиц вблизи $\varphi=0$ и $\varphi=\pm\pi$ возрастает, это эквивалентно как бы нарастанию амплитуды колебаний на неподвижном пробнике. В дальнейшем эта амплитуда может оставаться неизменной. Подобный механизм "самоподдерживания" колебаний может объяснить результаты, полученные при малых токах в описанном выше эксперименте, а также относительную стабильность колебаний при распаде плазмы.

При достаточно больших токах инжеции, когда возникает 2-х пучковая неустойчивость, амплитуда колебаний сильно возрастает, что приводит к ограничению плотности захваченных частиц и существенному изменению функции распределения.

По-видимому, для создания плазмы с более высокой плотностью необходимо использовать ловушку с $\frac{\partial \Omega}{\partial W} > 0$, а также другие методы инжеции, создающие распределение частиц в ловушке, близкое к равновесному.

Л и т е р а т у р а

1. Г.И.Будкер и др. Plasma Physics and Controlled Nuclear Fusion Research 2, ¹AEA, Vienna, 1966.
2. M.Seidl, P.Sunka, Phys Lett, 11, 31, (1964)
3. В.И.Волосов, В.Е.Пальчиков, Ф.А.Цельник. ЖТФ 36, в.9, 1649 (1966).
4. И.М.Самойлов, А.А.Соколов, ЖТФ 35, в.11, 2012 (1965); 34, в.6, 1057 (1964).
5. (Nielsen, A,Sessler. Rev.Scient Instr, 30, '80, (1959)
30, 80 (1959); 30, 80 (1959).
6. И.М.Самойлов, А.А.Соколов, ЖЭТФ 39, 257(1960).
7. M.Scidl Czech.j.Rhys,
в.11, № 6, 390 (1961).

Подписи к рисункам

1. Схема установки

1 - инжектор электронов

2 - диамагнитный пробник (50 витков)

3,5 - электростатические пробники (неподвижный и подвижной).

4,6 - магнитные антенны (неподвижная и подвижная)

7 - коллектор.

2. Зависимость частоты колебаний от энергии инжектируемых электронов и от тока инжекции

1 - расчетная кривая

2 - частота колебаний во время инжекторного импульса (3 мксек после начала инжекции);

длительность инжекции 5 мксек

3 - частота колебаний в режиме распада плазмы (5 мксек после окончания инжекции)

4 - частота колебаний в зависимости от тока инжекции.

3. Огибающая в.ч. сигнала с электростатического пробника. Давление $5 \cdot 10^{-7}$ тор. Ток инжекции

0,3 а, энергия инжектируемых электронов 40 кэв, магнитное поле 150 эрстед (масштаб времени

5 мксек / см

4. Сигнал с электростатического пробника (масштаб времени 50 нсек/см);

- a) при положении пробника в центре ловушки $Z = 0$;
- b) при $Z = 50$ см.

5. Зависимость от тока инжекции

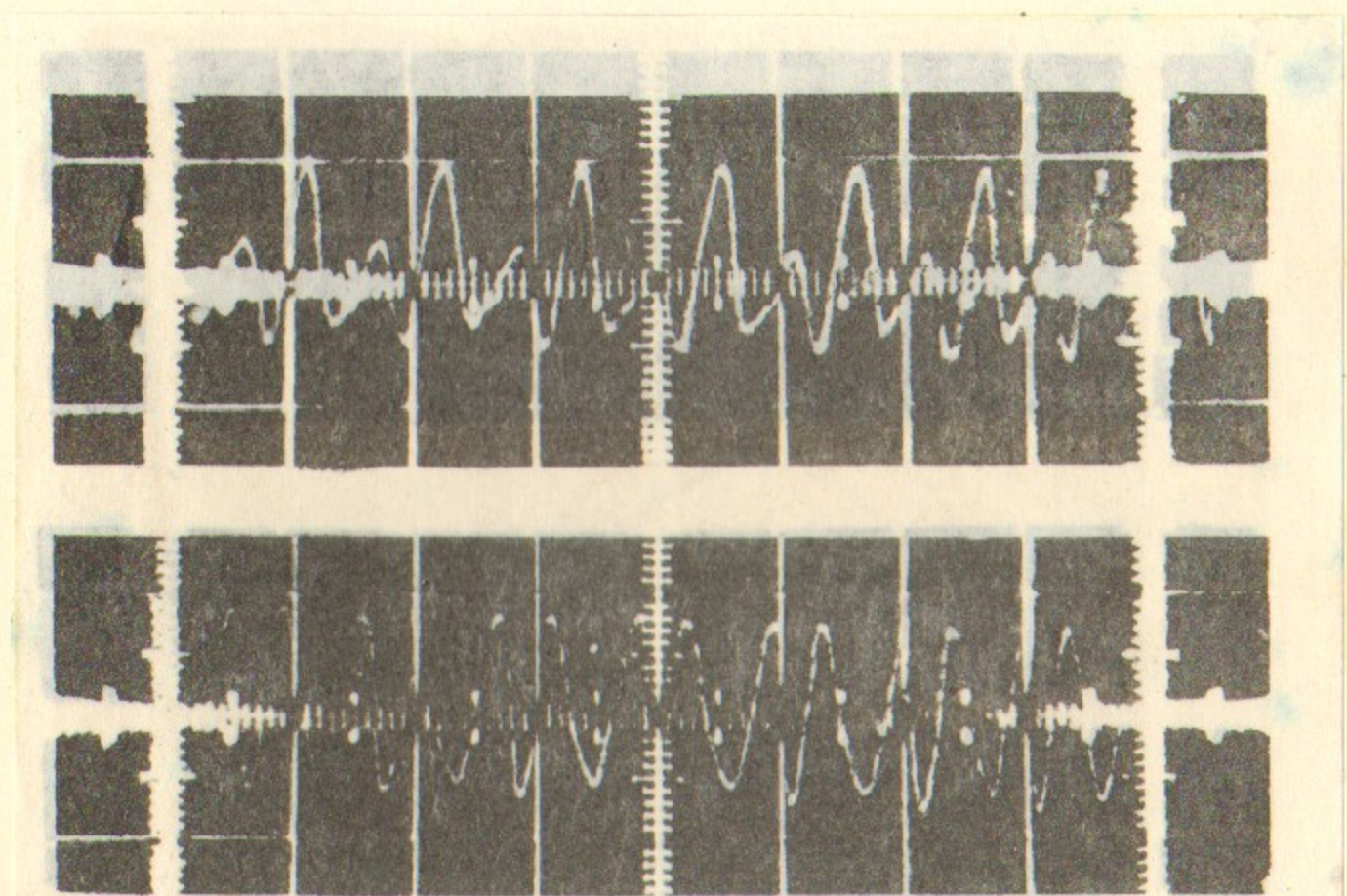
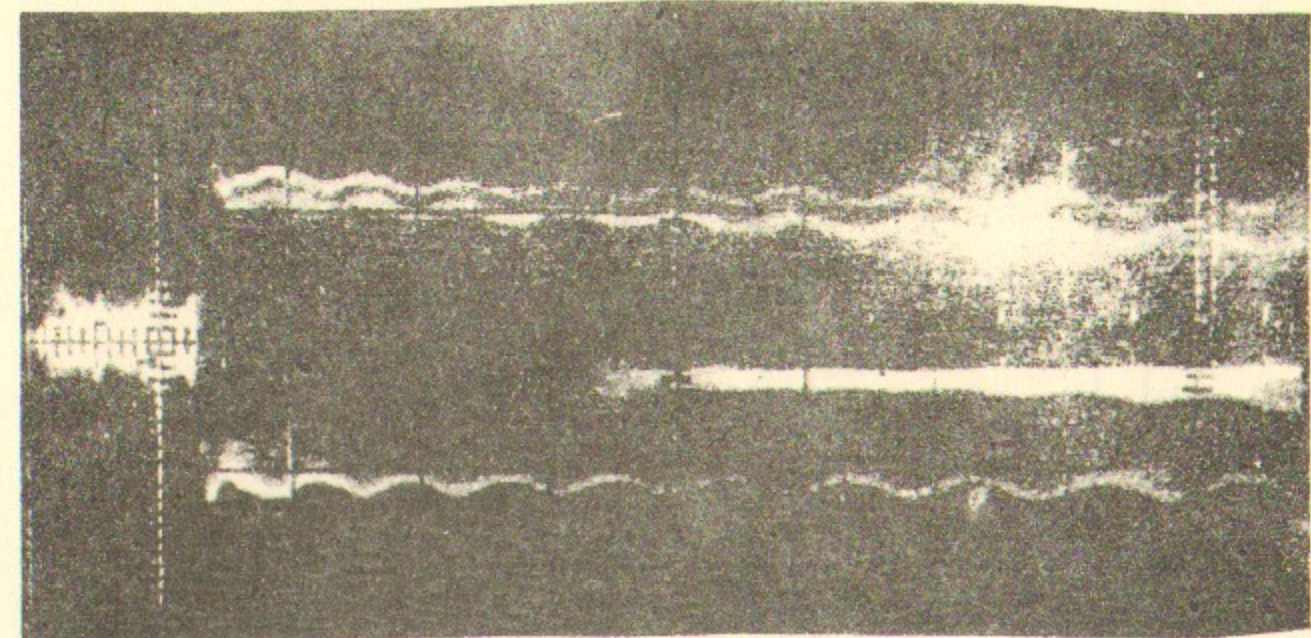
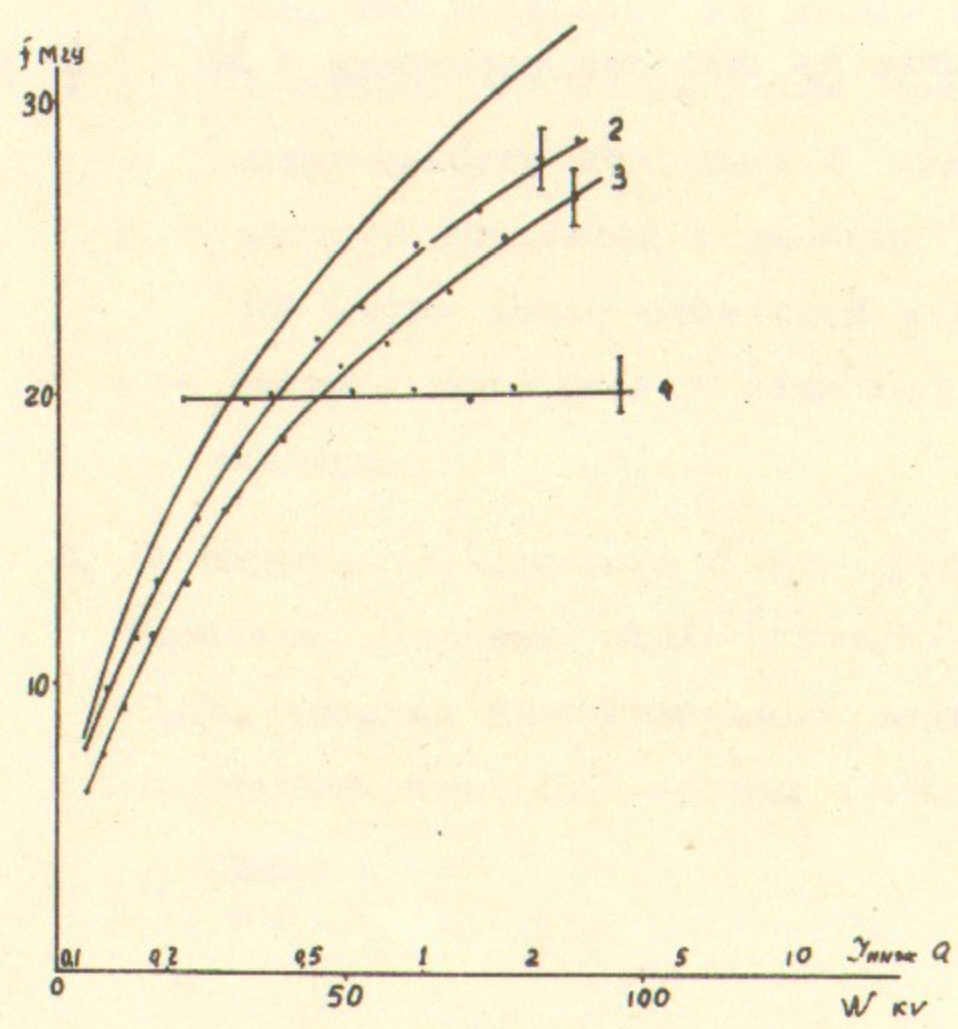
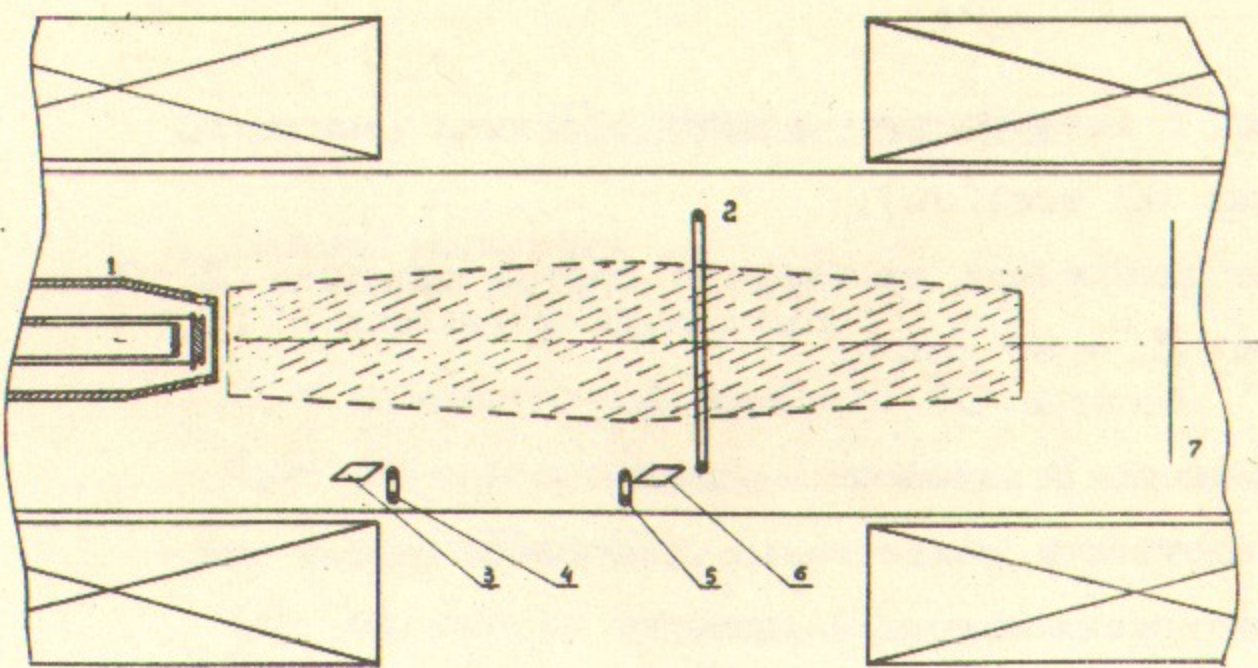
1 - плотности захваченных частиц (5 мксек после окончания инжекции)

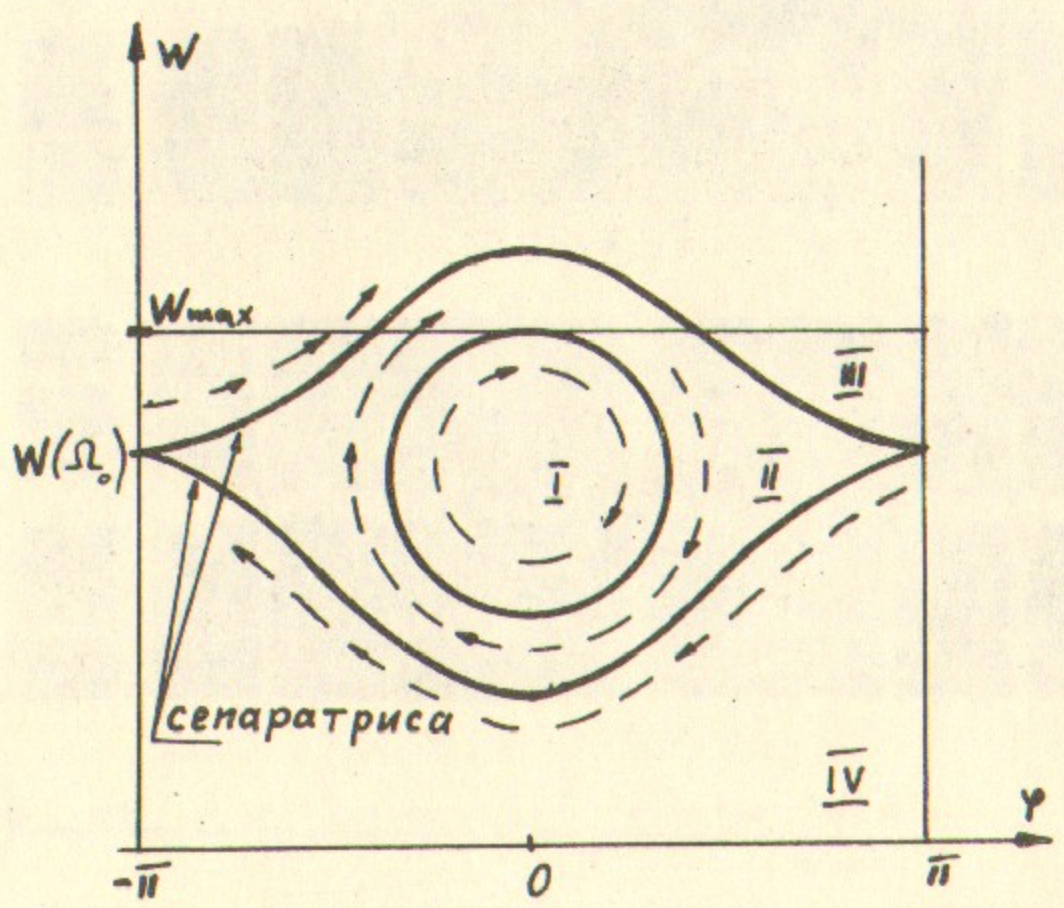
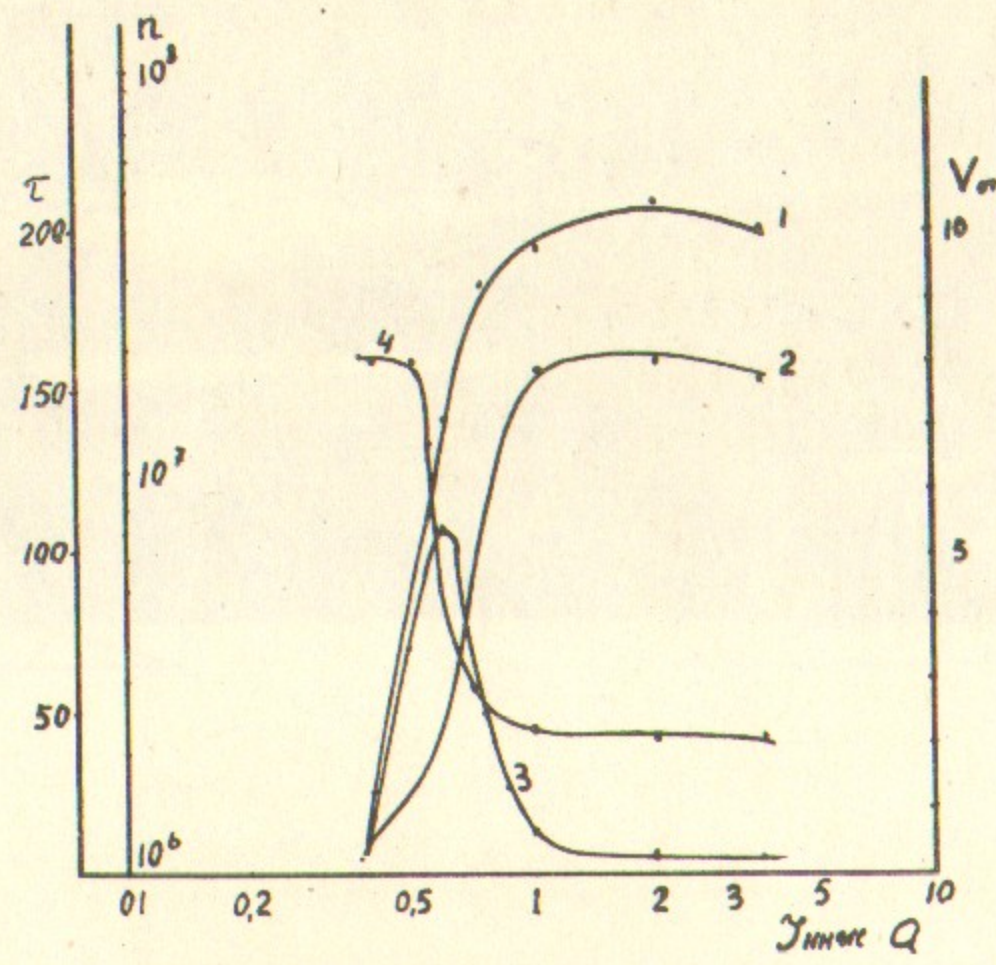
2 - амплитуды колебаний во время инжекторного импульса

3 - амплитуды колебаний (5 мксек после окончания инжекции)

4 - времени распада плотности захваченных частиц.

6. Движение частиц на фазовой плоскости (W , φ).





Ответственный за выпуск В.И.Волосов

Подписано к печати 21.XI.1967г., заказ № 169

О,8 печьл., тираж 250 экз., бесплатно.

Отпечатано на ротапринте в ИЯФ СО АН СССР.